

## Effect of Continuous and Intermittent Aeration Modes on the Efficiency of the Continuous Flow Extended Aeration Activated Sludge Systems

Dr. Kossay K. Al-Ahmady 

Engineering College, University of Mosul / Mosul

Ammar A. Al-Sultan

Buildings and Construction Engineering Department, University of Technology / Baghdad

Email:k.alahmady@yahoo.com / amar\_civileng@yahoo.com

### ABSTRACT

In this research an experimental plant was constructed and operated in order to study the efficiency of the intermittent aeration activated sludge system that operated at the ratio of (On/Off aeration times) ( $15_{\text{min}}/15_{\text{min}}$ ), ( $30_{\text{min}}/30_{\text{min}}$ ), ( $60_{\text{min}}/60_{\text{min}}$ ), ( $90\text{min}/90\text{min}$ ) and ( $120_{\text{min}}/120_{\text{min}}$ ) and compare their performance with the continuous flow extended aeration activated sludge. The results of the study revealed that; extended aeration reactor is more efficient in removing organic matter than the intermittent aeration reactors. At the hydraulic detention times of (24, 18 and 32), 100%, 65% and 100% of effluent readings had organic concentration less than the acceptable effluent level in compare to 75%, 60% and 80% at the ( $90\text{min}/90\text{min}$ ) reactor. In comparison of On/Off aeration times, ( $90\text{min}/90\text{min}$ ) reactors provide the best organic removal. All readings from the extended aeration and ( $15_{\text{min}}/15_{\text{min}}$ ), ( $60_{\text{min}}/60_{\text{min}}$ ), and ( $90\text{min}/90\text{min}$ ) reactors were within the acceptable level for effluent suspended solids while the effluent concentrations from the ( $120_{\text{min}}/120_{\text{min}}$ ) reactors were higher. The results also indicated that, intermittent aeration reactors are better in removing phosphorous than the extended aeration. At the detention times of 24 and 18 hours, 8% and 6% of readings from the extended aeration reactors had ( $\text{PO}_4 \leq 5 \text{ mg/l}$ ) in compare to 90% and 52% of readings from the ( $60_{\text{min}}/60_{\text{min}}$ ) reactor. At detention time of 32 hours, 32% of readings from the extended aeration reactor had ( $\text{PO}_4 \leq 2 \text{ mg/l}$ ) in compare to 72% for the ( $60_{\text{min}}/60_{\text{min}}$ ) reactor. Higher phosphorus removals were recorded at ( $60_{\text{min}}/60_{\text{min}}$ ) reactors.

**Keywords:** Activated sludge, Hydraulic detention time, Extended aeration, Intermittent aeration, Organic removal, Phosphorus removal

## مقارنة تأثير أسلوب التهوية المستمرة والتهوية المقطعة على كفاءة أنظمة الحماة المنشطة ذات التهوية المطولة والجريان المستمر

### الخلاصة

تم في هذا البحث دراسة تأثير التهوية المقطعة على كفاءة أنظمة الحماة المنشطة ذات الجريان المستمر وذلك من خلال إنشاء وتشغيل محطة اختبارية تعمل بنظام الجريان المستمر والتهوية المقطعة وبأوقات تشغيل وإيقاف تهوية (15<sub>min</sub>/30<sub>min</sub>) ، (30<sub>min</sub>/60<sub>min</sub>) ، (60<sub>min</sub>/120<sub>min</sub>) ، (90<sub>min</sub>/90<sub>min</sub>) ، (120<sub>min</sub>/120<sub>min</sub>) ومقارنتها مع نظام الحماة المنشطة ذو الجريان المستمر والتهوية المطولة حيث استخدمت مياه المطروقات الصناعية لمصنع أدوية نينوى مصدرًا للفضلات السائلة. أثبتت نتائج البحث أن نظام التهوية المطولة ذو كفاءة أعلى في إزالة المواد العضوية من نظام التهوية المقطعة، حيث كانت 100% و 65% و 100% من الفرقاء انتراكتايز المياه الخارجية من مفاعلات التهوية المطولة العاملة بأوقات مكوث هيدروليكي (24، 18 و 32) ساعة تقع ضمن حدود الطرح المحلية مقابل 75% و 60% و 80% لمفاعلات التهوية المقطعة (90<sub>min</sub>/90<sub>min</sub>) العاملة بنفس أوقات المكوث وعلى التوالي، وكان أفضل تشغيل متقطع لإزالة المواد العضوية هو (90<sub>min</sub>/90<sub>min</sub>). وكانت جميع القراءات المسجلة لتراكتايز المواد الصلبة العالقة الخارجية من مفاعلات التهوية المطولة والتهوية المقطعة (15<sub>min</sub>/60<sub>min</sub>) ، (60<sub>min</sub>/120<sub>min</sub>) و (90<sub>min</sub>/90<sub>min</sub>) ضمن حدود مواصفات الطرح المعتمدة، كما تفوقت مفاعلات التهوية المستمرة على مفاعلات التهوية المقطعة من حيث انخفاض تراكتايز المواد الصلبة العالقة في المياه الخارجية، كذلك كانت الدورات الطويلة لتشغيل وإيقاف التهوية (120<sub>min</sub>/120<sub>min</sub>) ذات كفاءة أقل من حيث تراكتايز هذه المواد. كما واثبتت النتائج أن مفاعلات التهوية المقطعة افضل من مفاعلات التهوية المستمرة في إزالة الفسفور حيث كانت 8% و 6% من تراكتايز الفوسفات في المياه الخارجية من مفاعلات التهوية المطولة العاملة بأوقات مكوث هيدروليكي (24 و 18) ساعة أقل أو يساوي 5 ملغم/لتر، مقابل 90% و 52% لمفاعلات التهوية المقطعة (60<sub>min</sub>/60<sub>min</sub>) العاملة بنفس أوقات المكوث وعلى التوالي، وكانت 32% من تراكتايز المياه الخارجية من مفاعل نظام التهوية المطولة العاملة بوقت مكوث هيدروليكي 32 ساعة ذات تركيز فوسفات أقل أو يساوي 2 ملغم/لتر مقابل 72% لمفاعل التهوية المقطعة (60<sub>min</sub>/60<sub>min</sub>). وإن أفضل تشغيل متقطع لإزالة الفسفور هو (60<sub>min</sub>/60<sub>min</sub>).

### المقدمة

تعد أنظمة الحماة المنشطة من أهم طرائق المعالجة البيولوجية وأكثرها انتشاراً نظراً لكافتها مقارنة مع أنظمة المعالجة الأخرى (Metcalf and Eddy, 2003). وكمثال بقية أنظمة المعالجة فقد تطورت أنظمة الحماة المنشطة، من أسلوب التشغيل الكتلي (Batch system) في بداية الأمر إلى أسلوب التشغيل المستمر (Continuous Flow Reactor) الذي أصبح هو السائد في السنوات اللاحقة وذلك لسهولة تشغيله مقارنة بال النوع الأول (Karakani & Mahvi 2005). يعد نظام الحماة المنشطة ذو مفاعلات المزج الكامل والتهوية المطولة أحد التحويلات الواسعة الانتشار، حيث يتمتع بقابلية الارتفاع على تقليل التغير في تصارييف وخصائص مياه الفضلات والتي تتغير بها عادة الفضلات الصناعية أو تلك الناتجة عن المجمعات الصغيرة (Metcalf and Eddy, 2003).

إن أكثر السلبيات المأخوذة على هذه الأنظمة هو استقراريه الظروف داخل المفاعلات البيولوجية مما يعني سيادة نوع معين من الأحياء المجهرية (الهوائية) دون البقية وبالتالي عدم قدرة هذه الأنظمة على إزالة أنواع مختلفة من الملوثات بكفاءة أفضل (Lim , et al. 2006), إضافة لذلك، الكلفة العالية جداً لوحدات التهوية والتي تشكل علينا كبيرة على محطات المعالجة، خصوصاً والحجم الكبير لهذه الوحدات كذلك وال الحاجة لتشغيلها بشكل متواصل، حيث أن الطاقة التي تحتاجها وحدات التهوية تصل إلى أكثر من (50%) من الطاقة الكلية المجهزة لعمل بقية وحدات محطة المعالجة (Doan and Lohi, 2009). حاول العديد من المهندسين إيجاد حلول لتقليل هذه الكلف إما عن طريق تقليل حجم هذه الوحدات أو تغيير نظام تشغيلها. ومن المحاولات الرئيسية التي جرت في هذا الاتجاه تحول بعض المهندسين باتجاه استخدام الأوكسجين النقي (Pure Oxygen) بدلاً من الهواء الطبيعي في عملية

على كفاءة أنظمة الحماة المنشطة ذات التهوية المطولة  
والجريان المستمر

التهوية مما يقلل من حجم وحدات التهوية المستخدمة، إلا أن الصعوبات الفنية المتاتية من استخدام وتوليد الأوكسجين النقي قد حدت بشكل كبير من استخدام هذا الخيار، كذلك فإن مثل هذا الترتيب لم يجد حلًا لمشكلة استقرارية الظروف داخل المفاعلات البيولوجية مما أبقى نطاق الإزالة محصوراً بنوع محدد من الملوثات (Metcalf and Eddy, 2003).

يعد استخدام أسلوب التهوية المقاطعة (IA) أحد الحلول الحديثة والمستخدمة من قبل الباحثين للتقليل من مشكلة ارتفاع كلف تشغيل وحدات التهوية كذلك وخلق بيئة غير مستقرة داخل المفاعل البيولوجي مما يسمح بنمو عدد كبير من الأحياء المجهرية المسؤولة عن إزالة أكثر من نوع معين من الملوثات. تعتمد الفكرة الرئيسية في التحوير على تقطيع التهوية في مفاعلات المزج الكامل لتعلم وفق نظام تشغيل وإيقاف تهوية محدد (On/Off Aeration) مع استمرار جريان المياه من وإلى المفاعل بشكل مستمر، حيث يسمح مثل هذا التحوير بتقليل كلف تشغيل منظومات التهوية إلى أكثر من النصف واعتماداً على نظام التشغيل (طول فترة تشغيل التهوية إلى فترة انقطاعها، بنفس الوقت الذي يؤدي فيه قطع التهوية إلى خلق ظروف لا هوائية محسوبة داخل المفاعل البيولوجي مما يسمح بنمو مجموعة من الأحياء المجهرية اللاهوائية أو تلك التي تعمل بوجود مستوى منخفض من الأوكسجين، وهذا ما يتيح إزالة أنواع عديدة من الملوثات (Doan and Lohi, 2009). إن المرونة العالية التي يتمتع بها هذا النظام جعلته أحد الخيارات المرغوبة عالمياً، حيث يمكن السيطرة على أداء المفاعل البيولوجي ودفعه باتجاه إزالة أنواع أخرى من الملوثات عن طريق تحكم بسيط متعدد بتشغيل وإيقاف التهوية (Doan and Lohi, 2009). إضافة لذلك فمن الممكن تطوير محطات المعالجة الموجودة حالياً وتعديلها باتجاه إزالة أنواع متعددة من الملوثات غير تلك المصممة لها وذلك عن طريق التحكم فقط ببرنامج تشغيل وإيقاف التهوية وبدون الحاجة لإضافة وحدات جديدة لإزالة هذه الملوثات.

يهدف هذا البحث إلى دراسة استخدام نظام الحماة المنشطة ذات التهوية المقاطعة على كفاءة إزالة المواد العضوية والفوسفات ( $\text{PO}_4^{3-}$ ) لمنظومة الحماة المنشطة ذات المزج الكامل والجريان المستمر والتهوية المطولة ومقارنتها مع مثيلاتها التي تعمل بنظام التهوية المستمرة، كذلك دراسة تأثير تغير وقت المكوث الهيدروليكي للمفاعل البيولوجي على كفاءة الإزالة وعند فترات تشغيل وأنقطاع مختلف للتهوية.

### الدراسات السابقة

قام الباحثان (Nielsen and Thompson, 1988) بتشغيل تجاري لمحطة معالجة مياه فضلات مدنية وذلك باستخدام نظام التغذية المستمرة والتهوية المقاطعة (Intermittent Aeration (IA)، حيث اشتمل نظام التشغيل على تطوري تشغيل (60 دقيقة) وإيقاف (30 دقيقة). استنتاج الباحثان أن استخدام النظام المذكور بإمكانه تخفيف تركيز  $\text{BOD}_5$  ليصل إلى حدود (15 ملغم/لتر)، وتقليل تركيز الامونيوم  $\text{NH}_4^+$  إلى (6 ملغم/لتر)، في حين وصل تركيز النترات  $\text{NO}_3^-$  الخارج إلى (5 ملغم/لتر). كما ودرس الباحث (Villaverde, et al, 2001) تأثير استخدام نظام الحماة المنشطة ذو الجريان المستمر والتهوية المقاطعة في إزالة النتروجين الكلي (TN) والمواد العضوية الذائبة (COD<sub>soil</sub>) من مياه فضلات صناعية. اشتمل العمل على ستة محاولات بأوقات تعويق هيدروليكي يساوي (24، 36، 48، 72، 53 ساعة) على التوالي، وبنسبة تشغيل التهوية إلى إيقافها تساوي (15 min/15 min). استنتاج الباحث أن معدلات كفاءة إزالة النتروجين الكلي متساوية لـ (13%)، (26%)، (30%)، (28%)، (51%)، (38%) تساوي، بينما كانت معدلات كفاءة إزالة الـ  $\text{NH}_4^+-\text{N}$  (38%)، (43%)، (40%)، (69%)، (90%)، (99%) تساوي، بينما كانت معدلات كفاءة إزالة الـ COD<sub>S</sub> (76%)، (62%)، (85%)، (75%)، (88%)، (92%) للمحاولات الأربع الأخيرة، وبهذا استنتاج الباحث بأن كفاءة إزالة كل من النتروجين الكلي والامونيا والمواد العضوية تزداد مع زيادة نسبة تشغيل التهوية إلى إيقافها.

عالج الباحثون (Garcia, et al, 2002) مياه فضلات مدنية وذلك باستخدام نظام الحماة المنشطة ذو الجريان المستمر وبدورات التهوية القصيرة (Short Aeration Cycles) حيث أظهرت النتائج أنه من الممكن الحصول على ما يسمى بالإزالة المترادفة (Simultaneous Removal) لكل

على كفاءة أنظمة الحماة المنشطة ذات التهوية المطولة  
والجريان المستمر

من المواد العضوية والنيتروجين الكلي من خلال حصول عمليتي التنرجة وعكس التنرجة وكذلك إزالة الفسفور، حيث من الممكن الحصول على نسبة إزالة COD<sub>sol</sub> تتجاوز الـ (90%)، ونسبة إزالة للنتروجين الكلي (90%)، ونسبة إزالة للفسفور (45%).

ذلك درس الباحث (Brett, 2004) آلية إزالة الملوثات العضوية والنتروجينية في محطات معالجة مياه الفضلات المدنية التي تستخدم نظام التهوية المقاطعة حيث لاحظ أنه في اغلب أحواض التهوية تتواجد مجموعتين من الأحياء المجهرية، مجموعة بكتيريا المواد العضوية (heterotrophy) وتعمل على إزالة الـ BOD، ومجموعة بكتيريا المواد النتروجينية (autotrophy) والتي تعمل على تحويل الأمونيا.

كما أجرى الباحثان (Mota, et al, 2005) دراسة حول تأثير استمرارية وقت التهوية على نمو بكتيريا التنرجة وفاعليتها في إزالة الأمونيا والنيتروجين الكلي (TKN) في مفاعلات الجريان المستمر ذات التهوية المقاطعة لمعالجة مياه الفضلات الناتجة عن حظائر الحيوانات. استخدم الباحثان خمسة مفاعلات بفترات تشغيل تهوية وفترات انقطاعها تساوي (1:1)، (1:3)، (0.5:1.5)، (0.5:2)، (1:4) على التوالي. أثبتت نتائج البحث أن كفاءة إزالة كل من الأمونيا والنيتروجين الكلي للمفاعلات الخمسة هي (85.7%) و (81.8%) و (79.2%) و (75.2%) و (84.6%) و (84.5%) على التوالي.

كما ودرس الباحثان (Karakani and Mahvi, 2005) كفاءة نظام المعالجة باستخدام التهوية المطولة والتهوية المقاطعة في إزالة الملوثات من مياه الفضلات، حيث أجريت الدراسة على ثلاثة مراحل تم في كل مرحلة تغيير وقت المكوث الهيدروليكي فكان (16.7، 14، 12.4) ساعة. استنتج الباحثان أن كفاءة إزالة الفسفور الكلي (38.5، 52.1، 55.9) % للمراحل الثلاثة على التوالي، وكفاءة إزالة COD (95، 94، 93) % وكفاءة إزالة TKN (85، 83، 70) % للمراحل الثلاثة وعلى التوالي.

ذلك قام الباحث (Jung, et al, 2006) بدراسة تأثير التهوية المقاطعة على تقليل كمية الحمأة الناتجة أثناء المعالجة البيولوجية لمياه فضلات مدينة. تم إجراء الدراسة عن طريق تحديد وقت كل دورة كاملة (وقت الطور الهوائي + وقت الطور اللاهوائي) ضمن المدى (3 - 24 ساعه)، حيث قسمت الدراسة إلى (12) محاولة تم في كل منها تغيير طول فترة تشغيل التهوية وانقطاعها وكما يلي : (4/20)، (8/16)، (12/12)، (16/8)، (20/4)، (1/2)، (2/4)، (4/8)، (4/4)، (4/2)، (4/4)، (0/24)، (24/0). استنتج الباحث أن النسبة المئوية لتنقیل الحمأة للمحاولات هي: (47.2)، (61.9)، (57.3)، (46.4)، (49.9)، (57.7)، (60.6)، (69.9)، (40.4)، (41.4) على التوالي.

كذلك أجرى الباحث (Mortazavi, et al, 2008) دراسة لمعالجة الفضلات الحاوية على المركبات العضوية اللايونية التي تعرف باسم (Surfactant) التي وتمتاز بقابليتها على تقليل قوة الشد السطحي للماء والسوائل الأخرى مما يؤثر على عمليات المعالجة، حيث تتواجد هذه المادة في كثير من مياه الفضلات المنزلية والصناعية الحاوية على المنظفات. استخدم الباحث نظام التهوية المطولة مع التهوية المقاطعة وبنسبة فترة تشغيل تهوية إلى انقطاعها تساوي (2 ساعه: 2 ساعه). استنتاج الباحث بأن كفاءة إزالة هذه المواد قد تجاوزت الـ 98% في المنظومة.

كما وقام الباحثان (Doan and Lohi, 2009) بدراسة تأثير المعالجة البيولوجية في إزالة الملوثات من مياه الفضلات الصناعية الناتجة عن عمليات طلاء المعادن وذلك باستخدام نظام التهوية المقاطعة حيث كان الهدف الرئيس من البحث معرفة التوفير المتتحقق من استخدام هذه الطريقة مقارنة بالتهوية المستمرة. أشار الباحثان إلى أن المعالجة البيولوجية بالتهوية المقاطعة تعمل على تقليل هذه الكلف، حيث ان التشغيل بهذه الطريقة يضمن تقليل معدل استهلاك الطاقة اللازمة للتهوية بمقدار (27 - 58%).

### المادة وطرق العمل

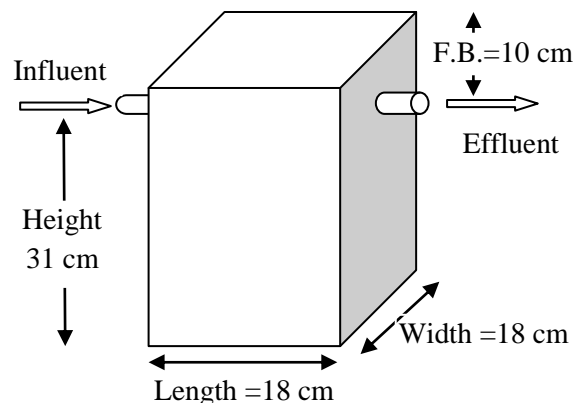
تمت تربية الحمأة في المختبر وذلك عن طريق جلب عينة من محطة معالجة مياه الفضلات في مصنع أدوية نينوى، حيث وضعت العينة في حوض زجاجي بحجم (80 لتر) لغرض زيادة

على كفاءة أنظمة الحماة المنشطة ذات التهوية المطلوبة  
والجريان المستمر

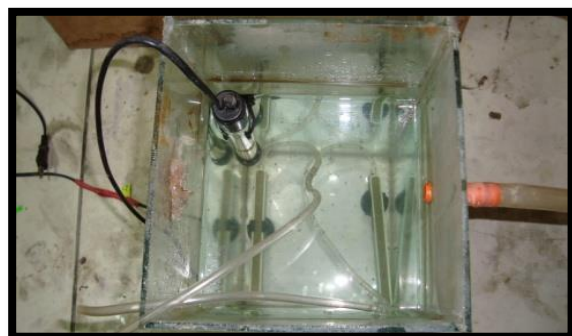
تركيزها وأقلمتها للنظام المقترن. تم اعتبار نظام التشغيل بالجرعة أسلوباً بدائياً لتنمية الحماة، لذلك تمت زيادة الأحمال العضوية المسلطة على المنظومة بشكل تدريجي وبما يتناسب مع درجة تأقلم وزيادة تركيز الأحياء المجهرية. استمرت هذه المرحلة حوالي (15 يوماً)، حيث أمكن خلال هذه المدة الوصول إلى تركيز حمأة منشطة (MLVSS) (يتراوح بحدود 2500 – 3000 ملغم/لتر).

ولدراسة النظم المقترن ضمن مدى واسع من الظروف التشغيلية فقد تم إنشاء ستة مفاعلات اختبارية بحجم (10 لتر) لكل مفاعل وبحسب الدراسات التي أجرتها العديد من الباحثين (Mota, et al,2005, Mortazavi, et al,2008). تم تصنيع المفاعلات الاختبارية من مادة الزجاج بسمك (4 ملم) وبطولة عرض وارتفاع (18، 18، 31 سم) على التوالي، لاحظ الشكل رقم (1)، جهزت بأحواض ترسيب اسطوانية بقطر (10 سم) أسفلها على شكل مخروطي لسحب الحماة كما وتحتوي على مدخل مصنوع من مادة البلاستيك لتقليل اضطراب المياه الداخلة إلى الحوض.

ول توفير التهوية والمزج اللازمين لتشغيل المفاعلات البيولوجية الاختبارية، فقد أعتمد أسلوب التهوية الناشرة (Diffused Aeration) كونها الأوسع انتشاراً (Karia and Christian,2006) حيث استخدمت مضخات هواء تجارية مرتبطة بواسطة أنابيب مرنة مصنوعة من مادة البلاستيك بنشرات هواء (air diffusers) بطول (15 سم) وعرض (1 سم) وارتفاع (1 سم) موزعة على جانبى الحوض لتحقيق المزج اللازم. تم قياس تصريف الهواء الذي تنتجه هذه المضخات بواسطة جهاز قياس تصريف الهواء، حيث بلغ مقدار التصريف  $110 \pm 10$  ملتر/ دقيقة، (الصورة 2). تم التحكم بطول مدد تشغيل وانقطاع التهوية في المفاعلات الاختبارية عن طريق استخدام مؤقتات كهربائية نوع (ice box) تعمل هذه المؤقتات ضمن مدى واسع من أطوار تشغيل وإيقاف تدفق التيار الكهربائي.



الشكل (1) المفاعل البيولوجي المستخدم في البحث



صورة (2): طريقة تثبيت نشرات التهوية والسخانات الكهربائية المستخدمة في البحث



صورة (3): المنظومة الكهربائية للوحدات الاختبارية

ثبتت نسبة ترجيع الحمأة المنشطة بمقدار (100%) من التصريف الداخل لجميع المفاعلات البيولوجية الاختبارية وحسب المحددات المقترنة من قبل (Karia and Metcalf and Eddy, 2003) ،and Christian, 2006، من خلال منظومة لترجيع الحمأة مكونة من مضخات صغيرة (12 فولت) مثبتة في التركيب المخروطي في أسفل أحواض الترسيب الثانيي، ويتم التحكم بتشغيل هذه المضخات من خلال منظومة سيطرة كهربائية تعمل بشكل أوتوماتيكي كامل(الصورة 3). اعتمد نظام الجريان المستمر أسلوبالتغذية الوحدات الاختبارية كون أن هذا النظام يعد من أكثر أنظمة تشغيل محطات المعالجة انتشارا (Metcalf and Eddy, 2003). تمت تغذية المفاعلات الاختبارية الستة سياحا بالاعتماد على الجاذبية الأرضية وذلك عن طريق استخدام حوض بلاستيكي بحجم 60 لترًا منسوب المياه فيه بحدود (40 سم) مع وجود ارتفاع أمان (FB) حوالي (10 سم) لمنع طفح مياه الفضلات إلى خارج الحوض، ويرتفع قعر الحوض المجهز عن نقاط تغذية المفاعلات الاختبارية (130 سم).

شغلت المفاعلات الاختبارية في آن واحد حيث يعمل المفاعل الاختباري الأول حسب نظام التهوية المستمرة المطولة (EA) (Extended Aeration)، في حين تعمل المفاعلات الاختبارية الاخرين بنظام التهوية المقطعة (IA) (Intermittent Aeration) حيث تمت برمجة عمل كل مفاعل مختبري وفق طول مدة تشغيل تهوية ومدة انقطاعها مختلف عن عمل المفاعل المختبري الآخر.

استخدمت مياه الفضلات السائلة الناتجة عن صنع ادوية نينوى كمصدر لمياه الفضلات لتشغيل المحطة الاختبارية ويبين الجدول (1) بعض الخصائص النوعية للمطروحتات السائلة للعينات التي تم جلبها خلال مدة الدراسة.

وبالنظر لكون درجة الحرارة من العوامل المسيطرة على التفاعلات البيولوجية داخل أحواض التهوية (الطائي، 2009)، فقد تم تثبيتها عند ( $25 \pm 1^{\circ}\text{C}$ ) وذلك باستخدام سخانات كهربائية ذات قدرة 100 واط، كذلك فقد تم تثبيت عمر الأحياء المجهرية عند (25 يوما) وبحسب توصية كل من (Metcalf and Eddy, 2003)

(Karia and Christian, 2006). يبين الجدول (2) الأطوار التشغيلية للمفاعلات الاختبارية حيث بلغت عدد التجارب خلال البحث أكثر من (80) تجربة.

كما تم تقسيم عمل الوحدات الاختبارية إلى ثلاثة مراحل تشغيلية من خلال التغيير وقت المكوث الهيدروليكي (HDT) في المفاعلات الاختبارية مع ثبوت درجة الحرارة وعمر الأحياء المجهرية، وذلك من خلال تغيير مقدار التصريف الداخل ويبين الجدول (3) المراحل التشغيلية الثلاثة لعمل الوحدات الاختبارية.

اجريت جميع الفحوصات بحسب المعاصفات القياسية (APHA, WPCF and AWWA)، حيث تم قياس كل من المتطلب الكيمياوي للأوكسجين الكلي (COD<sub>T</sub>)، المواد الصلبة العالقة

على كفاءة أنظمة الحماة المنشطة ذات التهوية المطولة  
والجريان المستمر

(SS)، والفوسفات الذائبة (Orthophosphate) للبياه المعالجة الخارجة من المحطات الاختبارية بشكل دوري وبمعدل قراءة واحدة يومياً. كذلك تم قياس تراكيز الأحياء المجهرية (MLVSS) الداخلية إلى والخارجية من أحواض الترسيب الثانوية عن طريق أخذ قراءات شبه يومية للمياه، كما وتم قياس معامل الدليل الحجمي (SVI) للمزيج السائل في المفاعلات الاختبارية بمعدل قراءة واحدة يومياً وذلك لغرض تقييم كفاءة الترسيب لهذه الأحواض.

**جدول رقم (1): الخصائص النوعية للمطروحتات السائلة لعينات مصنع نينوى للأدوية المأخوذة خلال مدة الدراسة**

معدل القيم	مدى القيم	الوحدة	الخاصية
6.78	7.6 - 6.0	-	الرقم الهيدروجيني (pH)
1451	2200 - 800	ملغم/لتر	المتطلب الكيميائي للأوكسجين (COD)
6.59	13.1 - 1.22	ملغم/لتر	(PO <sub>4</sub> ) الفوسفات
79.13	120 - 30	ملغم/لتر	(SS) المواد الصلبة العالقة

**جدول رقم (2): الأطوار التشغيلية للمفاعلات الاختبارية**

المحطة الاختبارية	تشغيل / وقوف				
	وقت التشغيل دقيقة	وقت الوقوف دقيقة	عدد الدورات التشغيلية خلال 24 ساعة	فترات التشغيل الكلية خلال 24 ساعة	
حماة منشطة مطولة التهوية (EA)	تهوية مستمرة / 24 ساعة				
المحطات الاختبارية متقطعة التهوية (IA)	IA1	15	15	48	12
	IA2	30	30	24	12
	IA3	60	60	12	12
	IA4	90	90	8	12
	IA5	120	120	6	12

ملاحظة: درجة الحرارة 25±1 درجة مئوية و عمر الحمأة 25 يوم

**جدول رقم (3): المراحل التشغيلية لعمل الوحدات الاختبارية**

معدل الحمل الهيدروليكي المسلط (م <sup>3</sup> /م <sup>2</sup> .يوم)	وقت المكوث الهيدروليكي (ساعة)		المرحلة التشغيلية
	أحواض الترسيب الثانوي	المفاعلات الاختبارية	
0.309	4	24	الأولى
0.412	4	18	الثانية
0.231	4	32	الثالثة

### النتائج والمناقشة **إزالة المواد العضوية (Organic Matter Removal)**

تبين الأشكال (4) و (5) و (6) التوزيع التكراري التراكمي لتراكيز المتطلب الكيميائي للأوكسجين الكلي (COD<sub>T</sub>) الخارج من المحطات الاختبارية والمراحل التشغيلية الثلاثة. وكما يلاحظ

على كفاءة أنظمة الحماة المنشطة ذات التهوية المطولة  
والجريان المستمر

من الاشكال في اعلاه فان تراكيز المواد العضوية الخارجية من مفاعلات نظام الحماة المنشطة ذات الجريان المستمر والتهوية المطولة اقل من مثيلاتها المسجلة في مفاعلات نظام الحماة المنشطة ذات الجريان المستمر والتهوية المقاطعة ويعود السبب في ذلك الى قدرة الأكسدة الهوائية على حل الأوصار بين عناصر المركبات العضوية وجعلها سهلة التحلل والهضم من قبل الأحياء المجهرية بشكل أفضل من التهوية المقاطعة، وتتوافق هذه النتيجة مع ما أكد (Luo, et al, 2002).

فكان 100% من تراكيز المياه الخارجية للمرحلة الأولى ذات وقت المكوث 24 ساعة من مفاعلات نظام التهوية المطولة تقع ضمن محدودات الطرح المحليه ( $\text{COD} \leq 100\text{mg/l}$ : التشريعات البيئية، 1998)، بينما كان 75% من تراكيز المياه الخارجية من مفاعلات التهوية المقاطعة ( $90\text{min}/90\text{min}$ ) تقع ضمن محدودات الطرح المحليه. أما بقية مفاعلات نظام التهوية المقاطعة فكانت تراكيز المياه الخارجية لها تقع خارج محدودات الطرح المحليه(الشكل 4).

وكان 65% من تراكيز المياه الخارجية للمرحلة الثانية ذات وقت المكوث 18 ساعة من مفاعلات نظام التهوية المطولة تقع ضمن محدودات الطرح المحليه، في حين أن 60% من تراكيز المياه الخارجية من مفاعلات التهوية المقاطعة ( $90\text{min}/90\text{min}$ ) تقع ضمن محدودات الطرح المحليه، أما بقية مفاعلات نظام التهوية المقاطعة فكانت تراكيز المياه الخارجية لها تقع خارج محدودات الطرح المحليه(الشكل 5).

اما الشكل (6) فيبيين بأن 100% من تراكيز المياه الخارجية للمرحلة الثالثة ذات وقت المكوث 32 ساعة من مفاعلات التهوية المطولة تقع ضمن محدودات الطرح المحليه، وان 80% من تراكيز المياه الخارجية من مفاعلات التهوية المقاطعة ( $90\text{min}/90\text{min}$ ) تقع ضمن محدودات الطرح المحليه، في حين أن حوالي 40% من قيم تراكيز المياه الخارجية من مفاعلات التهوية المقاطعة ( $15\text{min}/15\text{min}$ ) تقع ضمن محدودات الطرح المحليه، أما بقية مفاعلات نظام التهوية المقاطعة فكانت تراكيز المياه الخارجية لها تقع خارج محدودات الطرح المحليه. وكانأفضل تشغيل متقطع لإزالة المواد العضوية هو ( $90\text{min}/90\text{min}$ ).

### تراكيز المواد الصلبة العالقة الخارجية

تبين الأشكال (7) و (8) و (9) التوزيع التكراري التراكمي لتراكيز المواد الصلبة العالقة الخارجية من أحواض الترسيب الثنائي للمحطات الاختبارية وللمراحل التشغيلية الثلاثة، حيث كانت المياه الخارجية من مفاعلات التهوية والمطولة ومفاعلات التهوية المقاطعة ( $15\text{min}/15\text{min}$ )، ( $60\text{min}/60\text{min}$ ) و ( $90\text{min}/90\text{min}$ ) ذات تراكيز للمياه الصلبة العالقة الخارجية من أحواض الترسيب مطابقة لمواصفات الطرح العراقيه ( $\text{I} \leq 60\text{mg/l}$ : التشريعات البيئية، 1998) وللمراحل التشغيلية الثلاثة. في حين كانت النسبة 85% و 76% لمفاعلات التهوية المقاطعة ( $30\text{min}/30\text{min}$ ) للمرحلتين الاولى والثانية على التوالي تقع ضمن مواصفات الطرح المحليه، بينما كانت جميع القراءات المسجلة في المرحلة الثالثة ذات وقت المكوث 32 ساعة مطابقة لمواصفات الطرح. أما مفاعلات التهوية المقاطعة ( $120\text{min}/120\text{min}$ ) فبلغت النسب 60% و 53% و 74% على التوالي (الاشكال 7، 8 و 9). واستناداً للأشكال في أعلاه فإنه من الممكن الاستنتاج بأن مفعلاً تهوية المستمرة يكون أفضل من مفاعلات التهوية المقاطعة من حيث تراكيز المواد الصلبة العالقة في المياه الخارجية كما ان الدورات الطويلة لتشغيل وإيقاف التهوية ( $120\text{min}/120\text{min}$ ) تكون ذات كفاءة أقل في إزالة المواد الصلبة العالقة (SS) وتتوافق هذه النتيجة مع ما وجده الباحثون (Jung, et al, 2006) حيث أعزى سبب ذلك إلى أن الدورات الطويلة لتشغيل وإيقاف التهوية ينتج عنها لبعض ضعيفة الترسيب مقارنة مع نظيراتها من اللabadات الناتجة عن الدورات القصيرة لتشغيل وإيقاف التهوية.

### تغير تراكيز الأوكسجين المذاب في مفاعلات التهوية المقاطعة

يبين الشكل (10) تغير تراكيز الأوكسجين المذاب (DO) مع الوقت في مفاعلات الجريان المستمر والتهوية المقاطعة. حيث إن تزايد تراكيز الأوكسجين المذاب (DO) في مدة تشغيل التهوية ليصل إلى حدود (6 ملغم/لتر) والذي يمكن أن يوفر ظروف ملائمة لعمل كل من بكتيريا متعددة التغذية (Heterotrophic) وبكتيريا ذاتية التغذية (Autotrophy)، كما إن الانخفاض التدريجي لتراكيز الأوكسجين المذاب (DO) في مدة إيقاف التهوية يجعل المنظومة تمر بمرحلة التهوية القليلة تليها

على كفاءة أنظمة الحماة المنشطة ذات التهوية المطولة  
والجريان المستمر

مرحلة انعدام التهوية. إن انعدام الاوكسجين في مدة إيقاف التهوية يجبر الأحياء المجهرية على البحث عن مصدر طاقة إضافي حيث تكون المواد العضوية في هذه الحالة مصدر طاقة ناجح لمثل هذه الأحياء (Russell D. L.; 2006).

إزالة الفوسفات ( $\text{PO}_4^{3-}$ )

تمثل الأشكال (11)، (12) و (13) التوزيع التكراري التراكمي لتراكيز الفوسفات للمياه المعالجة الخارجة من مفاعل التهوية المطولة ومفاعلات التهوية المقطعة ولمراحل التشغيلية الثلاثة. وكما يلاحظ من الأشكال (11، 21 و 13) فإن تراكيز الفوسفات الخارجية من مفاعل التهوية المستمرة كانت أعلى منها في مفاعلات التهوية المقطعة فكان 8% من تراكيز المياه الخارجية من مفاعل التهوية المطولة للمرحلة الأولى ذات تركيز ( $\text{PO}_4^{3-} \leq 5 \text{ mg/l}$ ) بينما كان 90% من تراكيز المياه الخارجية من مفاعلات التهوية المقطعة ( $\text{PO}_4^{3-} \leq 5 \text{ mg/l}$ ) ذات تركيز ( $\text{PO}_4^{3-} \leq 60\text{min}/60\text{min}$ ). في حين كانت 6% من تراكيز المياه الخارجية من مفاعل نظام التهوية المطولة للمرحلة الثانية ذات تركيز ( $\text{PO}_4^{3-} \leq 5 \text{ mg/l}$ ) مقابل 52% من تراكيز المياه الخارجية من مفاعلات التهوية المقطعة ( $\text{PO}_4^{3-} \leq 60\text{min}/60\text{min}$ ). أما الشكل (12) فيبين أن 32% من تراكيز المياه الخارجية من مفاعلات التهوية المقطعة للمرحلة الثالثة ذات تركيز ( $\text{PO}_4^{3-} \leq 2 \text{ mg/l}$ ) مقابل 72% من تراكيز المياه الخارجية من مفاعلات التهوية المقطعة ( $\text{PO}_4^{3-} \leq 60\text{min}/60\text{min}$ ). وبسبب تفوق المفاعلات التي تعمل بالتهوية المقطعة بالإزالة أن عملية إزالة الفسفور تحدث لا هوائية وان احتمال حدوثها هوائياً يعد ضئيلاً وتتفق هذه النتيجة مع ما أورده كل من Garcia (2002) و Luo, et al (2002) و Encina, et al (2002). كما يلاحظ من المنحنيات فإن أفضل تشغيل متقطع لإزالة الفسفور هو ( $60\text{min}/60\text{min}$ ).

تأثير وقت المكوث الهيدروليكي على تراكيز الأحياء المجهرية

يمثل الشكل (14) العلاقة بين معدل تراكيز الأحياء المجهرية (MLVSS) ووقت المكوث الهيدروليكي. كما يلاحظ من الشكل فإن تراكيز الأحياء المجهرية (MLVSS) تقل مع نقصان وقت المكوث الهيدروليكي (HDT) ويعود السبب في ذلك إلى انجراف كبيات من الأحياء المجهرية إلى خارج المفاعل الاختباري باتجاه حوض الترسيب الثنائي نتيجة زيادة معدل التصريف الداخلي إلى المفاعلات الاختبارية (Metcalf and Eddy, 2003)، كما يتبيّن أيضاً من الشكل أن تراكيز الأحياء المجهرية (MLVSS) في المفاعل ذو التهوية المستمرة كانت أقل منها في مفاعلات الجريان المستمر والتهوية المقطعة (IA) ولجميع المراحل التشغيلية ويعزى سبب ذلك إلى أكسدة وانحلال بعض الخلايا الحية الضعيفة بتأثير التهوية المستمرة في المفاعلات البيولوجية (Karia and Christian, 2006). كذلك تساهم تغير تراكيز الاوكسجين المذاب في مفاعلات التهوية المقطعة على توفير ظروف ملائمة لنمو أنواع مختلفة من الأحياء المجهرية والتي تعمل بظروف هوائية ولاهوائية وهذا ما يزيد العدد الإجمالي للأحياء المجهرية داخل المفاعل البيولوجي وبالتالي زيادة تراكيزها، وتتفق هذه النتيجة مع ما جاء به الباحثان (Mota, et al, 2005).

تأثير وقت المكوث الهيدروليكي على كفاءة إزالة المواد العضوية (COD)

يبين الشكل (15) العلاقة بين وقت المكوث الهيدروليكي (HDT) وكفاءة إزالة المواد العضوية (COD)، حيث يلاحظ أنه باانخفاض وقت المكوث الهيدروليكي تتحفظ كفاءة الإزالة وذلك بسبب عدم قدرة المفاعلات البيولوجية على أكسدة جميع المادة العضوية الداخلة إلى المفاعل وخاصة عند زيادة التصريف المسلط على المنظومة وهذا يتفق مع ما جاء به كل من (Mota, et al, 2005; Karakani and Mahvi, 2005) و (Eddy; 2003). كذلك يلاحظ من الشكل (15) أن كفاءة إزالة المواد العضوية (COD) في مفاعلات التهوية المستمرة كانت أعلى منها في مفاعلات التهوية المقطعة وسبب ذلك هو قدرة الأكسدة الهوائية على حل الأوصىر بين عناصر المركبات العضوية وجعلها سهلة التحلل والهضم مقابل الأحياء المجهرية بشكل أفضل من التهوية المقطعة، وتتفق هذه النتيجة مع ما أكده (Luo, et al, 2002).

### تأثير وقت المكوث الهيدروليكي على معامل الدليل الحجمي (SVI)

يوضح الشكل (16) تغير معامل الدليل الحجمي للحمة (SVI) مع وقت التعويق الهيدروليكي (HDT) لمفاعلات المحطة الاختبارية، حيث تعد الحمة المنشطة ذات خصائص تربيبية جيدة إذا كانت قيمة معامل الدليل الحجمي لها ما بين (50 - 150 ملتر/غم)، في حين تعد الحمة التي لها قيمة معامل دليل حجمي اكبر من (150 ملتر/غم) حمة منتفخة (Metcalf and Eddy, 2003). وكما يلاحظ من الشكل أن قيم معامل الدليل الحجمي للحمة في مفاعل التهوية المطولة أقل منها في مفاعلات التهوية المقاطعة ولمراحل التشغيلية الثلاثة، وهذا ينفق مع ما جاء به الباحثون (Mota, et al, 2005) حيث علوا سبب ذلك إلى أن التهوية المقاطعة تعمل على إحداث زيادة نسبية لمساحة السطحية للأحياء المجهرية وذلك من أجل تعزيز النقص الحاصل في الأوكسجين عند إيقاف التهوية وبهذا تتكون لبادات ضعيفة. كذلك يتبيّن من الشكل أن أقل قيمة معامل دليل حمة حجمي تتحقق في مفاعلات التهوية المقاطعة (90<sub>min</sub>/90<sub>min</sub>) ثم تليها مفاعلات (60<sub>min</sub>/60<sub>min</sub>)، كما وتزداد قيم معامل الدليل الحجمي للحمة مع زيادة وقت التعويق الهيدروليكي ويرجع سبب ذلك إلى انخفاض نسبة الغذاء داخل المفاعل نتيجة لنقصان التصريف المسلط على المحطات الاختبارية مؤثراً بذلك على خصائص الأحياء المجهرية داخل المفاعل البيولوجي باتجاه توليد أحياء أصعب ترسيباً، وتتوافق هذه النتيجة مع ما أورده (Metcalf and Eddy, 2003).

#### الاستنتاجات:

1. ان انخفاض وقت المكوث الهيدروليكي (HDT) يعمل على خفض كفاءة إزالة المواد العضوية الذائبة والفوسفات لكل من نظامي التهوية المستمرة والتهوية المقاطعة.
2. أعطى نظام الحمة المنشطة ذو التهوية المقاطعة بمدة تشغيل وإيقاف التهوية اوقيات المكوث المستخدمة في الدراسة.
3. كانت مفاعلات التهوية المستمرة ومفاعلات التهوية المقاطعة (15<sub>min</sub>/15<sub>min</sub>)، (60<sub>min</sub>/60<sub>min</sub>) و (90<sub>min</sub>/90<sub>min</sub>) كفؤة في إزالة المواد الصلبة العالقة من فضلات معمل الادوية وضمن حدود اوقيات المكوث المستخدمة في الدراسة حيث كانت تراكيز (COD<sub>T</sub>) ضمن مواصفات الطرح العراقي المعتمدة وضمن حدود العالقة (SS) للمياه المعالجة الخارجة مطابقة لمواصفات الطرح العراقي المعتمدة ( $\leq 60\text{mg/l}$ ).
4. مفاعلات التهوية المقاطعة أكثر كفاءة في إزالة الفوسفات من مفاعلات التهوية المطولة ولو قتلت 18 - 32 ساعة حيث كانت تراكيز الفوسفات ( $\text{PO}_4^{3-}$ ) في المياه الخارجة من مفاعلات التهوية المقاطعة أقل من تراكيز مثيلاتها الخارجية من مفاعل التهوية المستمرة، كما كان افضل تشغيل متقطع لإزالة الفسفور هو (60<sub>min</sub>/60<sub>min</sub>).

#### المصادر

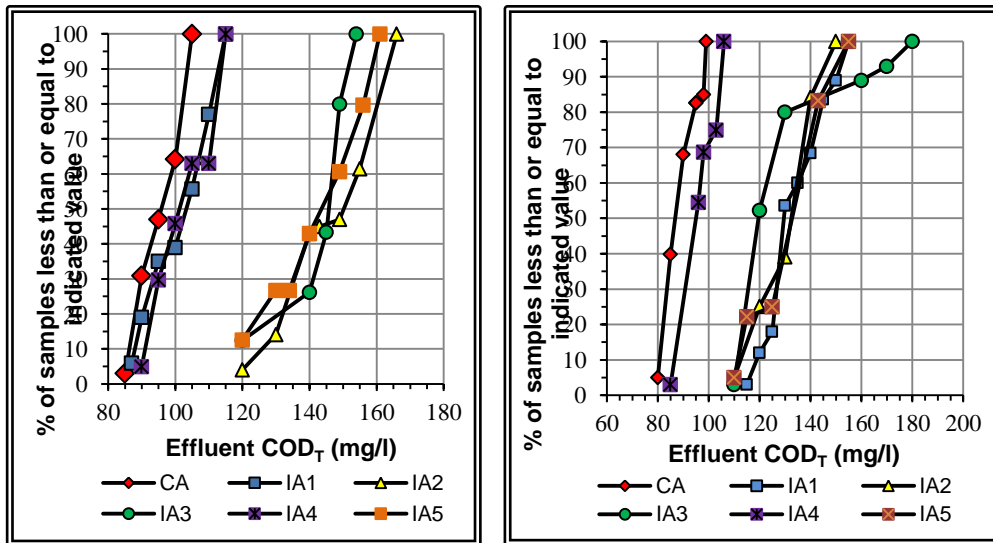
[1] الطائي، محمد سمير غاتم (2009) "مقارنة أداء أنظمة الحمة المنشطة ذات درجات الحرارة المعتدلة والمحبة للحرارة في معالجة مياه فضلات الألبان"، رسالة ماجستير، كلية الهندسة / جامعة الموصل.

[2] جمهورية العراق، وزارة الصحة، دائرة حماية وتحسين البيئة، "التشريعات البيئية"، قسم العلاقات والتوعية البيئية، كانون الاول، (1998).

[3] APHA, WPCF and AWWA (1998), "Standard Methods for the Examination of Water and Wastewater", 20<sup>th</sup> ed., Washington, D.C.

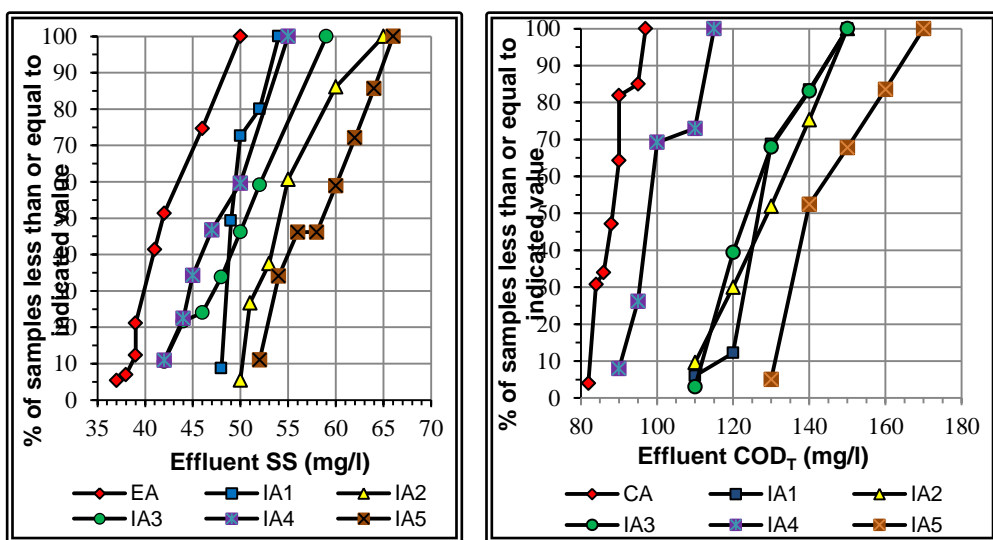
- [4]Brett Ward,(2004)," Have You Tried Off-On Aeration Yet", Utility Operations Consultant, Municipal Technical Advisory Service, The University of Tennessee.
- [5]Doan H. and Lohi A., (2009),"Intermittent Aeration in Biological Treatment of Wastewater" American J. of Engineering and Applied Sciences, 2 (2): 260-267.
- [6]García-Encina P.A. , García M.C., Mate S. , Adrados F. , Iglesia D. , Fdz-Polanco F. and Villaverde S.,(2002)," Simultaneous Removal Of Organic Matter, Total Nitrogen And Phosphorous In A Single Continuous Flow Activated Sludge Reactor Operated With Short Aeration Cycles",Latin American Workshop and Symposium on Anaerobic Digestion, 7, Mérida, Yucatán, 22-25 Oct.
- [7]Jung S.J. , Miyanaga K. , Tanji Y. , Unno H. ,(2006), "Effect of intermittent aeration on the decrease of biological sludge amount", Biochemical Engineering Journal, 27, 246–251.
- [8]Karakani F. and Mahvi A.H., (2005) "Wastewater Phosphorous Removal by Intermittent Cycle Extended Aeration System", Pakistan J. of Biological Sciences 8(2), 335-337.
- [9]Karia G.L. and Christian R.A., (2006), "Wastewater Treatment Concept And Design Approach", prentice Hall of India ,New Delhi-110001.
- [10]Lim B.S., Choi B.C., Yu S.W., Lee C.G. , (2006) "Effects of operational parameters on aeration on/off time in an intermittent aeration membrane bioreactor", Desalination, 202 77–82.
- [11]Luo A. , Zhu J. , Ndegwa P.M.,(2002),"Removal of Carbon, Nitrogen, and Phosphorus in Pig Manure by Continuous and Intermittent Aeration at Low Redox Potentials", Biosystems Engineering, 82 (2), 209–215.
- [12]Metcalf and Eddy, (2003) "Wastewater engineering treatment /disposal /reuse", 4<sup>th</sup> ed., McGraw-Hill, Inc.,New York.
- [13]Mota C. , Melanie A.H. , Ridenoure J.A. , Cheng J.J. and Reyes F.L.,(2005), "Effects of Aeration Cycles on Nitrifying Bacterial Populations and Nitrogen Removal in Intermittently Aerated Reactors",Applied and Environmental Microbiology, 71 (12), 8565–8572.
- [14]Mortazavi S.B. , Khavanin A. , Moussavi G. and Azhdarpoor A. (2008),"Removal of Sodium Dodecyl Sulfate in an Intermittent Cycle Extended Aeration System",Pakistan Journal Biological Sciences, 11(2), 290-293.
- [15]Nielsen J.S. , Thompson M.D. ,(1988),"Operating experiences at a large continuously fed , intermittently decanted ,activated sludge plant", J.WPCF, vol. 60 ,no 2 ,pp145-272.
- [16]Russell D.L., (2006), "Practical Wastewater Treatment", Wiley & Sons, Inc., Hoboken, New Jersey.
- [17]Villaverde S.,Lacalle M.L., Garcia P.A. &Fdz-Polanco F. (2001),"Nitrification-Denitrification of UASB effluents highly loaded with nitrogen in an activated sludge reactor operated with short cycled aeration",Water Sciences and Technology, 44 (4), 279-286.

### الاشكال Figures



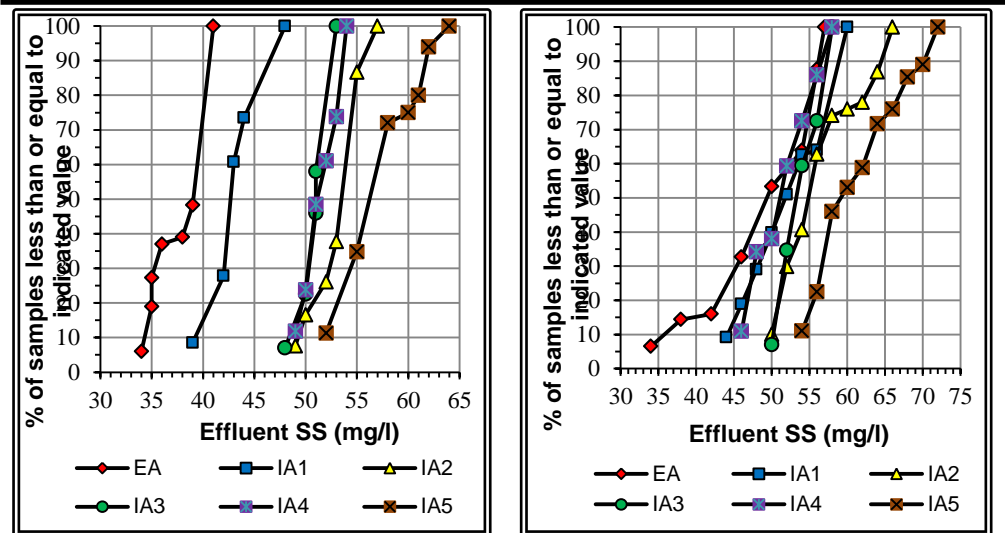
الشكل (5): التوزيع التكراري التراكمي لتركيز المواد العضوية (COD<sub>T</sub>) الخارجة من المحطات الاختبارية للمرحلة الثانية (وقت المكوث الهيدروليكي = 18 ساعة)

الشكل (4): التوزيع التكراري التراكمي لتركيز المواد العضوية (COD<sub>T</sub>) الخارجة من المحطات الاختبارية للمرحلة الأولى (وقت المكوث الهيدروليكي = 24 ساعة)



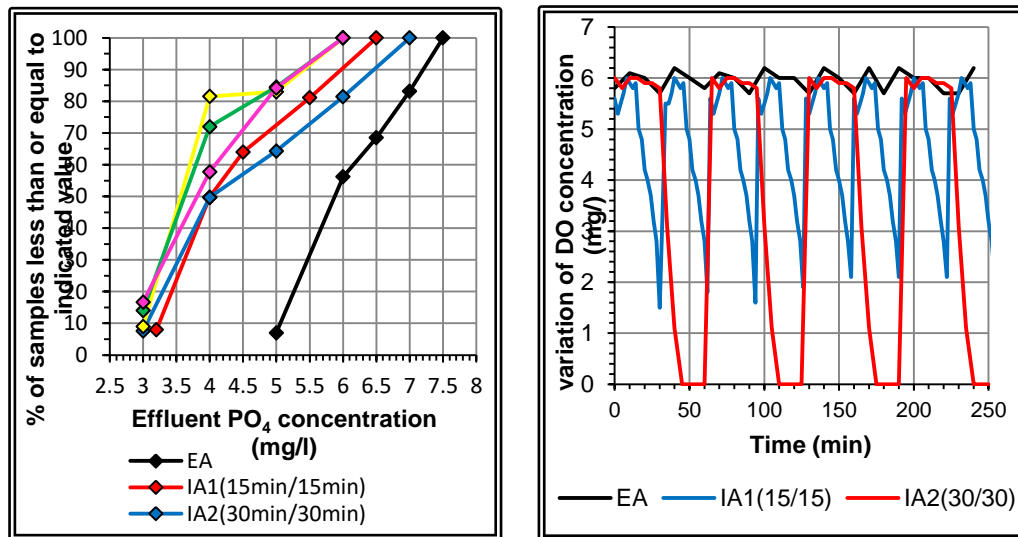
الشكل (7): التوزيع التكراري التراكمي لتركيز المواد الصلبة العالقة الخارجة من المحطات الاختبارية للمرحلة الأولى (وقت المكوث الهيدروليكي = 24 ساعة)

الشكل (6): التوزيع التكراري التراكمي لتركيز المواد العضوية (COD<sub>T</sub>) الخارجة من المحطات الاختبارية للمرحلة الثالثة (وقت المكوث الهيدروليكي = 32 ساعة)



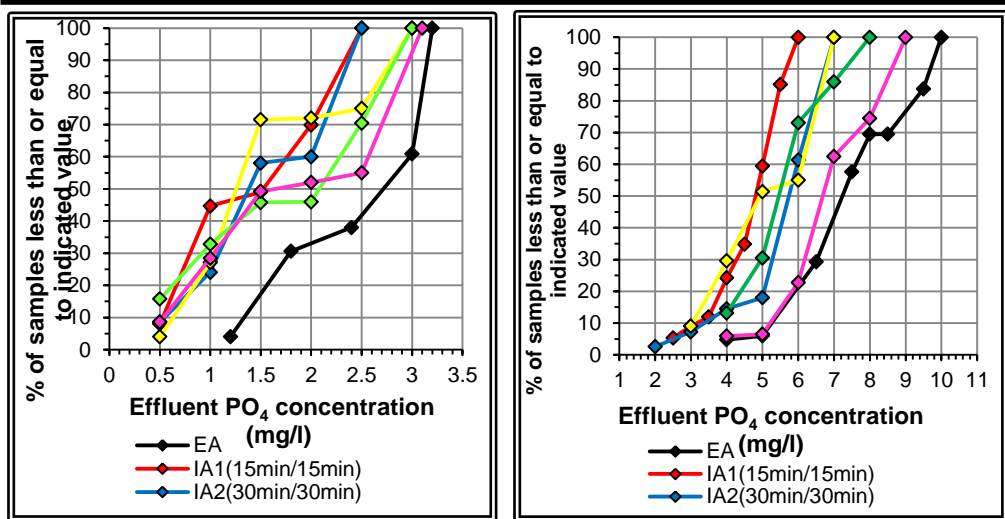
الشكل (9): التوزيع التكراري التراكمي لتركيز المواد الصلبة العالقة الخارجة من المحطات الاختبارية للمرحلة الثالثة (وقت المكوث الهيدروليكي = 32 ساعة)

الشكل (8): التوزيع التكراري التراكمي لتركيز المواد الصلبة العالقة الخارجة من المحطات الاختبارية للمرحلة الثانية (وقت المكوث الهيدروليكي = 18 ساعة)



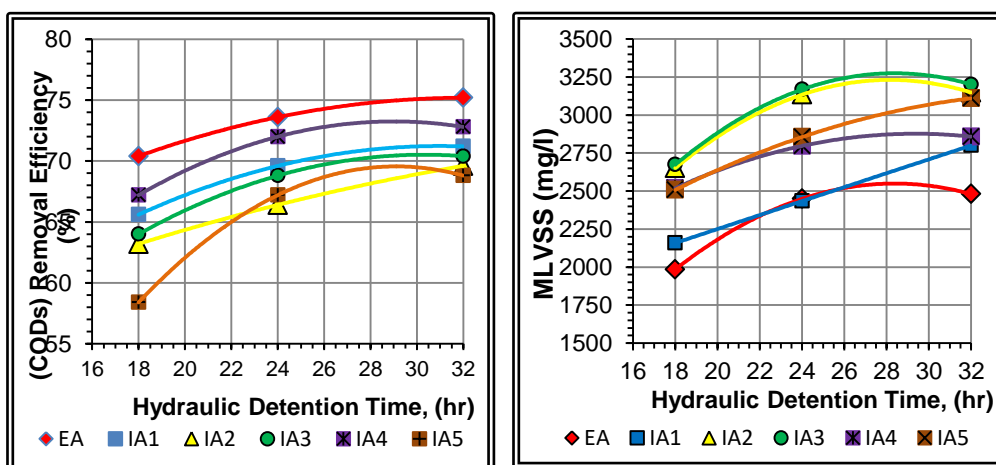
الشكل (11): التوزيع التكراري التراكمي لتركيز الفوسفات ( $\text{PO}_4$ ) للمياه المعالجة الخارجة من المحطات الاختبارية للمرحلة الأولى (وقت المكوث الهيدروليكي = 24 ساعة)

الشكل (10): معدل تراكيز الأوكسجين المذاب مع الوقت للمفاعلات الاختبارية ذات التهوية المطولة والتهوية المقطعة وللمراحل التشغيلية الثلاثة



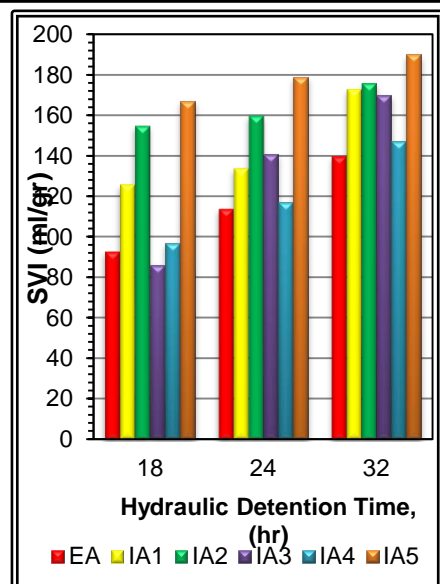
الشكل (13): التوزيع التكراري التراكمي لتركيز الفوسفات ( $\text{PO}_4^{3-}$ ) للمياه المعالجة الخارجة من المحطات الاختبارية للمرحلة الثانية (وقت المكوث الهيدروليكي = 32 ساعة)

الشكل (12): التوزيع التكراري التراكمي لتركيز الفوسفات ( $\text{PO}_4^{3-}$ ) للمياه المعالجة الخارجة من المحطات الاختبارية للمرحلة الثانية (وقت المكوث الهيدروليكي = 18 ساعة)



الشكل (15): العلاقة بين وقت المكوث الهيدروليكي وكفاءة إزالة المواد العضوية للمفاعلات الاختبارية وللمراحل التشغيلية الثلاثة

الشكل (14): العلاقة بين وقت المكوث الهيدروليكي وتركيز الأحياء المجهرية (MLVSS) للمفاعلات الاختبارية وللمراحل التشغيلية الثلاثة



الشكل (16): تغير معامل الدليل الحجمي (SVI)  
للتفاعلات الاختبارية مع وقت التعويق الهيدروليكي